

И Н С Т И Т У Т
ЯДЕРНОЙ ФИЗИКИ СОАН СССР

И Я Ф 39 - 71

Т.А.Всеволожская, Г.И.Сильвестров

ОПТИЧЕСКИЕ СВОЙСТВА СВЕТОСИЛЬНЫХ
ПАРАБОЛИЧЕСКИХ ЛИНЗ

Новосибирск

1971

Т.А.Всеволожская, Г.И.Сильвестров

ОПТИЧЕСКИЕ СВОЙСТВА СВЕТОСИЛЬНЫХ ПАРАБОЛИЧЕСКИХ ЛИНЗ

Применение таких оптических систем включает параболичес-
кую линзу, разработанную в ИЭФ СО РАН в 1992-1993 г.г., в
приложении к а

А Н Н О Т А Ц И Я

В работе рассмотрены оптические свойства магнитных линз с аксиально-симметричной фокусировкой полем вида $H \propto \frac{1}{r}$ с целью выяснения возможности их применения для фокусировки пучков с большими угловой расходимостью и поперечным фазовым объёмом и энергиями до нескольких Гэв, когда длина линзы, при реально достижимых магнитных полях, становится сравнимой с величиной фокусного расстояния.

При движении параболических линз для фокусировки частиц с вектором $\mathbf{v} > 0$ за желательно не склонять себя ограничениями, вытекающими из условия "треугольности" линзы, и иметь возможность увеличить изображение частиц за счет уменьшения длины пути частиц в линзе. Это требует индивидуального рассмотрения движения частиц в поперечном поле $H \propto \frac{1}{r}$ с учётом начальной координаты пути заряженных частиц, а также возможности включать в линзовую систему, что и является следствием вышеупомянутой требований.

Для собирания вторичных частиц, рождающихся, как и правило, в большом телесном угле, требуется фокусирующие системы с большой светосилой и достаточно малым фокусным расстоянием. Относительно малое рассеяние частиц высоких энергий при прохождении вещества позволяет использовать для их фокусировки магнитное поле прямого тока, обладающее максимальной фокусирующей силой и аксиальной симметрией.

Примером таких оптических систем являются параболические линзы, разработанные в ИЯФ СО АН в 1962-1963 г.г. и применяемые для собирания позитронов с энергией 120 Мэв в телесном угле $\sim 0.03 \text{ стер}$ (линейный угол $\theta \sim 0.1 \text{ рад.}$) /1, 2, 3/.

Идея параболической линзы состоит в том, что для достижения линейной фокусировки полем вида $H_\varphi = \frac{\text{const}}{r}$, частица должна проходить в поле вдоль оси его симметрии путь, пропорциональный r^2 , т.е. область поля должна быть ограничена параболоидами вращения с образующими $Z = \pm ar^2$. Угол отклонения частицы $\alpha = \int H_\varphi dz$ пропорционален при этом первой степени координаты r , и фокусное расстояние равно

$F = \frac{PC}{2aeH_0R_0}$, где H_0 - поле на расстоянии R_0 от оси. Координата частицы r в линзе предполагается постоянной, что справедливо в том случае, когда линзу можно считать тонкой, т.е. длина пути частицы в ней $2ar^2$ много меньше фокусного расстояния $2ar^2 \ll F$. Считая заданным угол собирания θ , получаем условие на поле в линзе, а именно $\frac{eH_0R_0}{PC} \gg \theta^2$.

При разработке параболических линз для фокусировки частиц с энергиями $\gtrsim 10^9$ эв желательно не связывать себя ограничениями, вытекающими из условия "тонкости" линзы, и иметь возможность уменьшить необходимое поле за счёт увеличения длины пути частицы в линзе. Это требует внимательного рассмотрения движения частиц в линзе с полем $H \sim \frac{1}{r}$ с учётом изменения координаты при прохождении линзы, а также неточечности и немonoхроматичности источника, что и является содержанием настоящей работы.

1. Точечный источник

a) Уравнение траектории

Функция Лагранжа релятивистской частицы в поле прямого тока в цилиндрических координатах с осью \hat{z} , совпадающей с осью симметрии поля есть $\mathcal{L} = -mc^2\sqrt{1-\beta^2} - \frac{e}{c}\hat{z}H_0R_0\ln r$, где H_0 — поле на расстоянии R_0 от оси. Произведение H_0R_0 является константой поля, пропорциональной величине тока.

Интегралами движения являются энергия частицы $E = \frac{mc^2}{\sqrt{1-\beta^2}}$ или её скорость V , \hat{z} — проекция обобщенного импульса

$$P_z = \frac{\partial \mathcal{L}}{\partial \dot{z}} = \frac{m\dot{z}}{\sqrt{1-\beta^2}} - \frac{eH_0R_0}{c}\ln r \quad \text{и} \quad \hat{z} = \text{проекция момента количества движения} \quad M_z = \frac{mr^2\dot{\phi}^2}{\sqrt{1-\beta^2}} / 41.$$

С помощью интегралов движения составляющие скорости частицы \dot{r} , $r\dot{\phi}$ и \dot{z} представляются в зависимости только от координаты r , и для определения траектории получаются дифференциальные уравнения первого порядка с разделяющими переменными:

$$\frac{dz}{dr} = \frac{\dot{z}}{\dot{r}} = \frac{P_z + \frac{1}{c}eH_0R_0\ln r}{\sqrt{P^2 - (P_z + \frac{1}{c}eH_0R_0\ln r)^2}} \quad (1)$$

$$\frac{d\phi}{dr} = \frac{\dot{\phi}}{\dot{r}} = \frac{1}{r} \sqrt{\frac{M_z m}{1 - \beta^2}} \cdot \frac{1}{\sqrt{P^2 - (P_z + \frac{1}{c}eH_0R_0\ln r)^2}}$$

Здесь P — импульс частицы, равный $P = \frac{mV}{\sqrt{1-\beta^2}}$, $\beta = \frac{V}{c}$.

В случае точечного источника, расположенного на оси поля, момент количества движения равен 0 для всех частиц, и $\dot{\phi} \equiv 0$. Уравнение траектории имеет вид

$$\hat{z} = \hat{z}_1 + \int_{r_1}^r \frac{\left(\dot{z}_1 + \frac{eH_0R_0c}{E} \ln \frac{r}{r_1}\right) dr}{\sqrt{V^2 - \left(\dot{z}_1 + \frac{eH_0R_0c}{E} \ln \frac{r}{r_1}\right)^2}} \quad (2)$$

где r_1 , \hat{z}_1 , и \dot{r}_1 , \dot{z}_1 — значения координат и составляющих скорости в какой-либо одной точке.

Зависимость скорости \dot{z} от r при этом имеет вид

$$\dot{z} = \dot{z}_1 + \frac{eH_0R_0c}{E} \ln \frac{r}{r_1}.$$

Интеграл в уравнении траектории не выражается в известных функциях, за исключением частных случаев, когда пределами интегрирования являются корни уравнений $\dot{r} = 0$ и $\dot{z} = 0$. В общем случае приходится пользоваться одним из методов приближенного интегрирования. При этом удобно определить траекторию параметрически, используя в качестве параметра угол наклона траектории к оси z $\alpha = \arctg \frac{\dot{z}}{\dot{r}}$:

$$r = r_1 \cdot e^{\frac{b(\cos \alpha - \cos \alpha_1)}{\alpha}}, \quad (3)$$

$$z = z_1 + r_1 b \int_{\alpha_1}^{\alpha} \cos \alpha' e^{\frac{b(\cos \alpha' - \cos \alpha_1)}{\alpha'}} d\alpha'$$

где $\alpha_1 = \alpha$ при $r = r_1$ и $z = z_1$.

Здесь мы ввели обозначение $b = \frac{pc}{eH_0R_0}$. Значение этой величины, определяющей оптическую силу поля ($\sim 1/b$), не может быть сделано существенно меньшим 10 при энергиях, допускающих применение параболических линз.

При малых α для приближенного интегрирования уравнения траектории удобно разложить подинтегральное выражение в ряд по степеням α и α_1 и проинтегрировать почленно. С точностью до членов порядка $b\alpha^4/4!$ в подинтегральном выражении, получим

$$z = z_1 + r_1 b e^{\frac{b\alpha^2}{2}} \left\{ \sqrt{\frac{\pi}{2b}} \left[\operatorname{erf} \alpha_1 \sqrt{\frac{b}{2}} - \operatorname{erf} \alpha \sqrt{\frac{b}{2}} \right] - \sqrt{\frac{\pi}{2b}} \left[\operatorname{erf} \alpha_1 \sqrt{\frac{b}{2}} - \operatorname{erf} \alpha \sqrt{\frac{b}{2}} \right] + \alpha e^{\frac{b\alpha^2}{2}} - \alpha_1 e^{\frac{b\alpha_1^2}{2}} \right\} \quad (4)$$

26

Если пренебречь вторым слагаемым в фигурных скобках, что соответствует условию $\alpha^2/2 \ll 1$, оставшееся выражение будет не что иное, как решение уравнений движения в рассматриваемом

поле в параксиальном приближении, т.е. при $\tilde{x} = \text{const} = \tilde{x}_1$.

Приближение тонкой линзы получим при условии $b \frac{\alpha^2}{2} \ll 1$

Траектория в линзе в этом случае определяется как

$$r = r_1, \quad z = \tilde{z}_1 + r_1 b(\alpha - \alpha)$$

б) Вычисление профилей линз

Если в уравнениях (3) точка с координатами r_1, z_1 , принадлежит входной поверхности линзы, а $r = r_2, z = z_2$ — выходной, уравнения (3) определяют выходное значение угла на клона $\alpha = \alpha_2$ в зависимости от начального значения α_1 . Линза с параболическими поверхностями обнаруживает при этом значительную сферическую aberrацию при углах, не отвечающих приближению тонкой линзы (рис.1).

Сферическая aberrация линзы с полем $H \propto \frac{1}{r}$, в случае точечного источника, устраняется полностью, если поверхности, ограничивающие поле, построены в точном соответствии с условиями фокусировки, задаваемыми функцией $\alpha_2 = \alpha_2(r_2, z_2)$.

Уравнения (3) при этом определяют выходную поверхность линзы в зависимости от формы входной.

Мы рассмотрим несколько примеров нахождения поверхностей линзы, отвечающих условию фокусировки частиц из точечно-го источника в параллельный пучок, т.е. от источника, расположенного в главном фокусе линзы. При этом в уравнениях (3) нужно положить $\alpha = \alpha_2 = 0$, $\operatorname{tg} \alpha_1 = \frac{r_1}{F+z}$ и задать произвольным образом уравнение огибающей входной поверхности $z_1 = z_1(r_1)$.

Пусть, как и в приближении тонкой линзы, огибающая входной поверхности задача уравнением параболы $z_1 = -a r_1^2$. Считая α_1 независимым параметром, получим уравнения огибающей выходной поверхности в виде

$$z_2 = \frac{1 + 2aF \operatorname{tg}^2 \alpha_1 - \sqrt{1 + 4aF \operatorname{tg}^2 \alpha_1}}{2a \operatorname{tg} \alpha_1} + r_2 b \int_0^{\alpha_1} \operatorname{cosec}^2 \theta d\theta e^{b(\cos \theta - 1)}$$

$$r_2 = \frac{\sqrt{1+4af \operatorname{tg}^2 \alpha} - 1}{2af \operatorname{tg} \alpha} \cdot e^{b(1-\cos \alpha)} \quad (5)$$

Величина "б" связана с главным фокусным расстоянием линзы и константой параболы "а" соотношением $b = 2af$.

Интеграл в уравнении $Z_2 = Z_2(\alpha)$ удобен для вычисления на ЭВМ. Для ручного счёта можно воспользоваться приведенным выше приближенным выражением, которое обеспечивает хорошую точность в большом диапазоне углов (рис.1).

Интересным примером линзы, фокусирующей пучок от точечного источника в параллельный, является линза с плоской выходной поверхностью $Z_2(\alpha) \equiv 0$. Координаты входной поверхности связаны в ней соотношением

$$Z_1 + r_1 b \int_0^{\alpha} \cos \alpha d\alpha e^{b(\cos \alpha - \cos \alpha)} d\alpha = 0 \text{ помимо приведенного выше соотношения } \operatorname{tg} \alpha = \frac{r_1}{F+Z_1}. \text{ Параметрические уравнения}$$

$$Z_1 = -F \cdot \frac{\operatorname{tg} \alpha_1 b \int_0^{\alpha_1} \cos \alpha \cdot e^{b(\cos \alpha - \cos \alpha)} d\alpha}{1 + \operatorname{tg} \alpha_1 b \int_0^{\alpha_1} \cos \alpha \cdot e^{b(\cos \alpha - \cos \alpha)} d\alpha} \quad (6)$$

$$r_1 = \frac{F \operatorname{tg} \alpha_1}{1 + b \operatorname{tg} \alpha_1 \int_0^{\alpha_1} \cos \alpha \cdot e^{b(\cos \alpha - \cos \alpha)} d\alpha}$$

Система из двух таких линз, соединенных плоскостями, служит для фокусировки пучка из точки в точку. Поверхности каждой "полулинзы" находятся по приведенным выше уравнениям при подстановке в них соответствующих значений фокусных расстояний f_1 и f_2 и значений "б", определяемых полем в каждой половине. При $b_1 = b_2$ можно объединить обе "полулинзы", убрав разделяющую их поверхность $Z = 0$.

Линза, одна из поверхностей которой задача произвольно, в общем случае не обеспечивает линейной фокусировки — фокусное

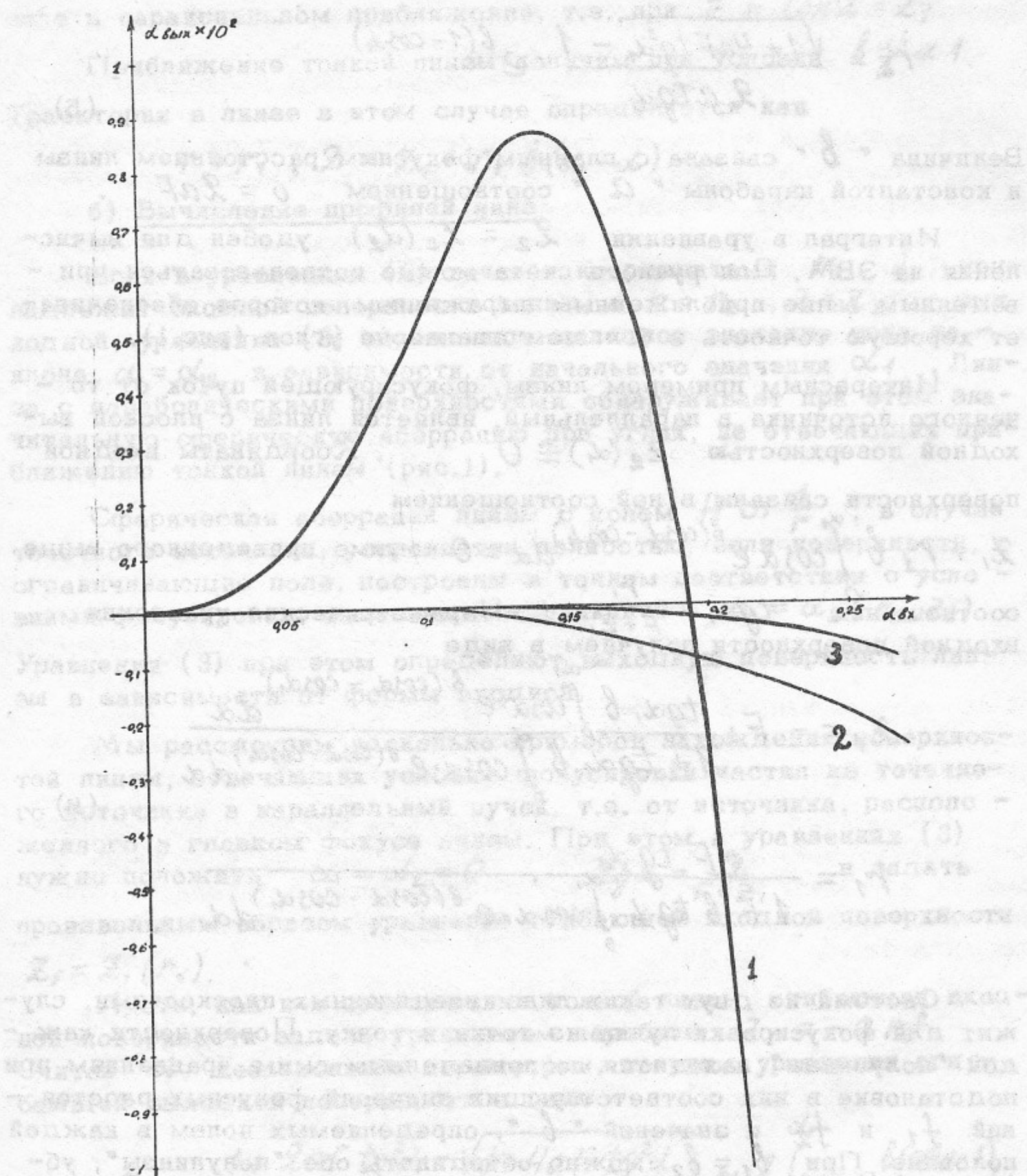


Рис.1. Сферические aberrации линзы с параболической входной поверхностью и выходной поверхностью, вычисленной:
 1 - в приближении тонкой линзы;
 2 - в параксиальном приближении;
 3 - в приближении следующего порядка по $\delta\alpha^2$
 (согласно выражению 4).

расстояние такой линзы существенно зависит от начального угла частицы α_1 , хотя положение главного фокуса определено независимо от α_1 . Иными словами, такая линза не имеет главной плоскости, а поверхность, определяемая уравнениями

$(F+z) \operatorname{tg} \alpha_1 = r$, $r = r_2(\alpha_1)$, задающими в линейных системах главную плоскость, в этом случае может иметь произвольную форму в зависимости от формы входной поверхности (рис.2). Это приводит к нелинейному изменению размера пучка на выходе линзы с изменением угловой расходности его в точечном источнике и к искажению формы поперечного фазового объема в случае неточечного источника.

Главной поверхности можно придавать нужную форму, отказавшись от произвольного задания одной из поверхностей линзы и наложив дополнительное условие $r_2 = r_2(\alpha_1)$ на выходные параметры траектории.

Линзу с главной поверхностью в виде плоскости $z = 0$ получаем при условии $r_2 = F \operatorname{tg} \alpha_1$. Входная поверхность при этом описывается уравнениями

$$r_1 = F \operatorname{tg} \alpha_1 e^{-\beta(1-\cos \alpha_1)} \quad (7)$$

$$z_1 = -F [1 - e^{-\beta(1-\cos \alpha_1)}],$$

выходная же в зависимости от входной по-прежнему находится из уравнений (3) при условии $\alpha = \alpha_2 = 0$. Если дополнительное условие взять в виде $r_2 = F \sin \alpha_1$, главная поверхность — сфера радиуса F с центром в главном фокусе, и уравнения входной поверхности:

$$r_1 = F \sin \alpha_1 e^{-\beta(1-\cos \alpha_1)} \quad (8)$$

$$z_1 = -F [1 - \cos \alpha_1 \cdot e^{-\beta(1-\cos \alpha_1)}]$$

Промежуточным между этими двумя случаями является линза, построенная при условии $r_2 = F \alpha_2$. Впрочем, различие между всеми тремя обнаруживается лишь при достаточно больших углах ($\alpha_1 \gtrsim 0,3$), и мы объединяем их под общим называнием "линейной линзы".

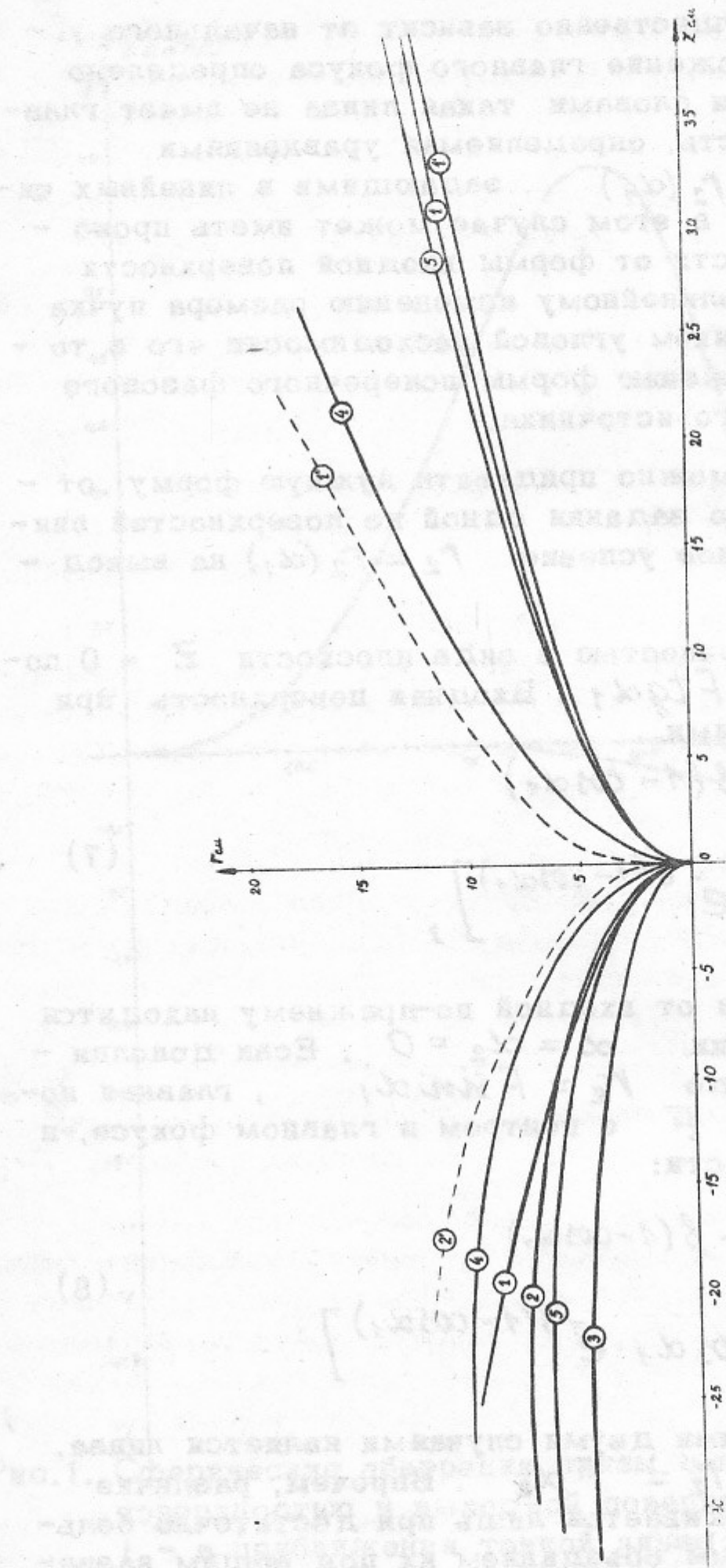


Рис.2. Профили линз и их главные плоскости.
 1-1 - параболическая линза, $F = 60$ см, $L = 0,25$, $b = 30$;
 1' - поправленный безаберрационный профиль $F = 60$ см, $b = 30$;
 1'' - её "главная плоскость"; 2 - полулинза $F = 60$ см, $b = 12$;
 2' - её "главная плоскость"; 3 - полулинза $F = 60$ см, $b = 30$;
 4-4 - линейная линза, $F = 60$ см, $b = 12$; 5-5 - линейная линза $F = 60$ см, $b = 30$.

Таким образом, для фокусировки пучков от точечного источника могут быть построены линзы с различными оптическими свойствами, отвечающие одному общему условию - сферические aberrации в них отсутствуют с точностью до погрешности в вычислении интеграла $\int^{\infty} \cos x e^{b(\cos x - \sin x)} dx$. Аберрации за счёт приближенного нахождения выходной поверхности в линзе с параболической входной ($A = 0.25 \text{ 1/cm}$, $F = 60 \text{ см}$) в трех рассмотренных приближениях - приближение тонкой линзы, параксиальном и приближение следующего порядка по $b\alpha^2$ показаны на рис.1. На рис.2 приведены профили линз при $F = 60$, $b = 30$ и $F = 60$, $b = 12$ для трех рассмотренных случаев - линзы с параболической входной поверхностью, - линзы с плоской выходной поверхностью и линзы с главной плоскостью $Z = 0$.

II. Неточечный источник

В случае неточечного источника геометрические aberrации не устраняются специальной формой поверхностей линзы и могут приводить к существенным искажениям формы фазового объёма пучка. Чтобы оценить эти искажения мы находим поперечный фазовый объём - эмитанс пучка во второй фокальной плоскости линзы путем вычисления параметров траектории на выходе линзы для достаточного числа частиц с различными значениями начальных координат и направлениями скорости.

a) Найдение траектории

Для нахождения траектории частиц от неточечного источника нужно ввести в рассмотрение изменение координаты φ и $\dot{\varphi}$ - скорость частицы.

Уравнения траектории в линзе удобно привести к параметрическому виду:

$$r = r_1 e^{\beta} \left(\sqrt{1 - u^2 - \sin^2 \theta_1 \cdot \sin^2 \gamma_1 \cdot \frac{r_1^2}{\mu^2}} - \cos \theta_1 \right)$$

$$Z = Z_1 + r_1 b \int_{\frac{r_1}{r}}^{\frac{r(u)}{r}} \frac{[cos \theta_1 + \frac{1}{8} ln \frac{r(u)}{r_1}] du'}{sin \theta_1 sin \gamma_1 \cdot \frac{b sin^2 \theta_1 \cdot sin^2 \gamma_1 \cdot \frac{r_1^2}{[r(u)]^2} - [cos \theta_1 + \frac{1}{8} ln \frac{r(u)}{r_1}]}{(9)}}$$

$$\varphi = \varphi_1 + r_1 b sin \theta_1 sin \gamma_1 \int_{\frac{r_1}{r}}^{\frac{r(u)}{r}} \frac{du'}{r(u)} \frac{b sin^2 \theta_1 sin^2 \gamma_1 \cdot \frac{r_1^2}{[r(u)]^2} - [cos \theta_1 + \frac{1}{8} ln \frac{r(u)}{r_1}]}{(9)}$$

где r_1 , φ_1 и Z_1 – входные координаты частицы, θ_1 – угол между направлением начальной скорости частицы и осью Z ,

γ_1 – угол между направлением поперечной скорости частицы и её радиусом – вектором в плоскости $Z = Z_1$, так что

$$V_z = V cos \theta_1, V_{r_1} = V sin \theta_1 \cdot cos \gamma_1, V_{\varphi_1} = V sin \theta_1 sin \gamma_1 \text{ (рис.3).}$$

Параметром является величина u , пропорциональная радиальной скорости частицы $\dot{r} = u V$. Трансцендентное уравнение для r решается методом итерации с $r = r_1$ в качестве нулевого приближения. Параметром для нахождения входных координат r_1 и Z_1 , по уравнениям входной поверхности (см.1) служат значения угла α_1 , между осью Z и проекцией скорости на полуплоскость $\varphi = \varphi_1$ (рис.3), которые находятся из транспондентного уравнения

$$tg^2 \alpha_1 = tg^2 \theta_1 + \frac{r_0^2}{(F+Z_1)^2} + \frac{2 r_0 tg \theta_1}{F+Z_1} cos \gamma_0 \text{ с использованием заданной на входной поверхности линзы зависимости}$$

$Z_1 = Z_1(\alpha_1)$; здесь r_0 – координата частицы в фокальной плоскости линзы $Z = -F$, γ_0 – угол между направлением поперечной скорости и радиусом вектором частицы в плоскости

$Z = -F$. Значения угла γ_1 находятся как

$$\gamma_1 = \frac{(F+Z_1)^2 tg^2 \theta_1 + r_1^2 - r_0^2}{2 r_1 (F+Z_1) tg \theta_1} \text{ . Значение координаты } \varphi \text{ на входе в линзу, } \varphi_1, \text{ в зависимости от значения её в фокальной}$$

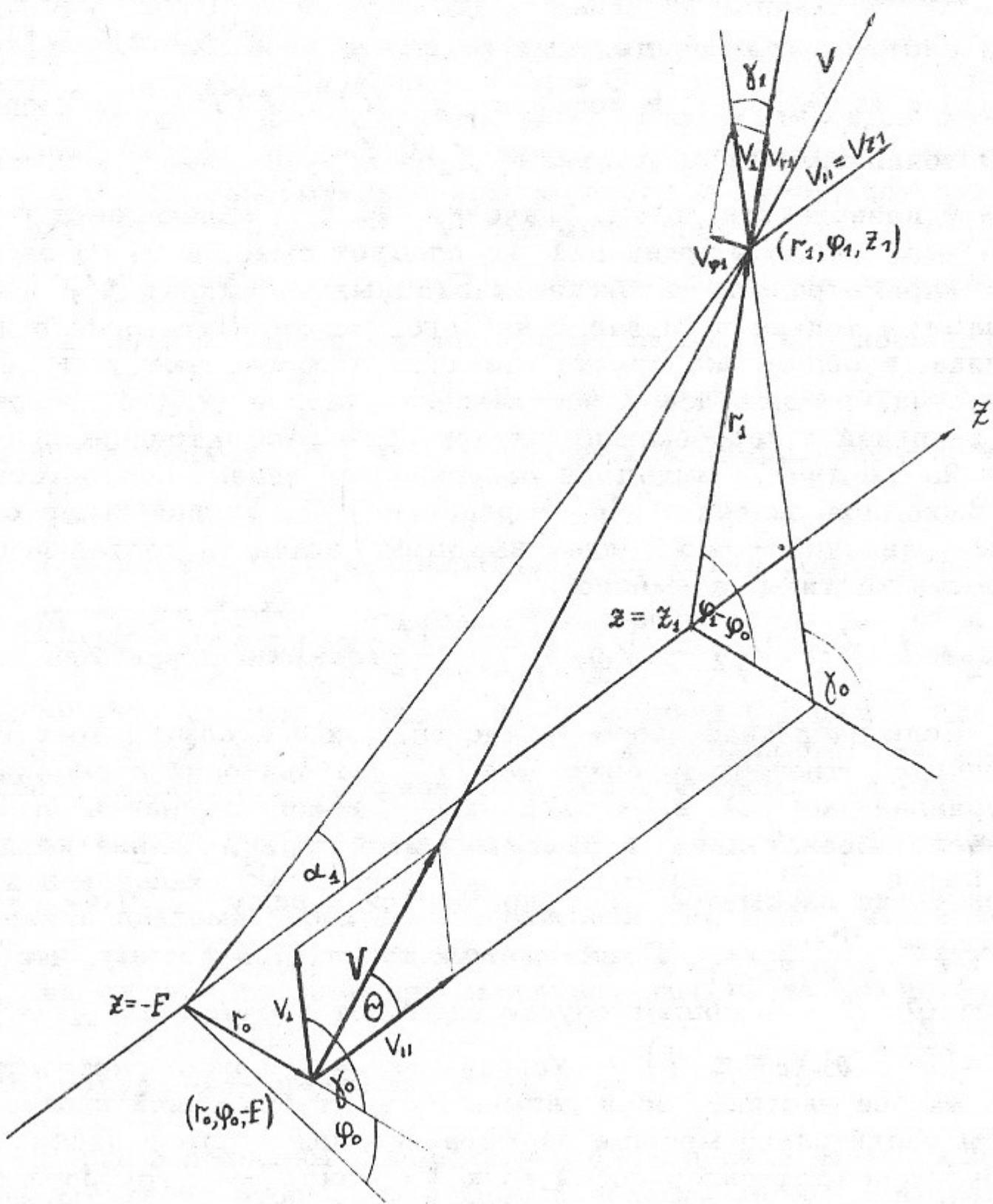


Рис.3. Связь координат и составляющих скорости на входе в линзу $r_1, \varphi_1, z_1, V_{r1}, V_{\varphi 1}, V_{z1}$ с координатами и углами в фокальной плоскости $z = -F$.

плоскости, φ_0 , и от значений γ_0 и γ_1 есть $\psi_1 = \varphi_0 + \gamma_0 - \gamma_1$.

Выходные координаты частицы z_2 и r_2 находятся решением системы трансцендентных уравнений $Z(u) = Z_2(\alpha_1^*)$,

$r(u) = r_2(\alpha_1^*)$, в которых $Z(u)$, $r(u)$ – координаты точки траектории частицы, $Z_2(\alpha_1^*)$, $r_2(\alpha_1^*)$ – выходной поверхности линзы. Значение α_1^* , являющееся решением этой системы уравнений, не следует смешивать со значением параметра для нахождения входных координат α_1 . Они совпадают только в случае точечного, монохроматического источника, в общем же случае различны и обозначают углы вылета частиц, родившихся в фокусе линзы на оси Z с равновесной энергией и пересекающих траекторию рассматриваемой частицы на входной и выходной поверхностях линзы, соответственно. Выходное значение u – решение приведенной выше системы уравнений – определяет выходные значения составляющих скорости частицы, а именно

$$V_{r2} = uV, \quad V_{\varphi 2} = V_{\varphi 1} \frac{r_1}{r_2}, \quad V_{z2} = \sqrt{V^2 - V_{r2}^2 - V_{\varphi 2}^2}$$

Если начальная скорость частиц, как и в случае точечного источника, отвечает условию $\psi = 0$, траектории определяются уравнениями (3), в которых α_1 , нужно заменить на Θ_1 , согласно обозначениям, принятым в этой главе. Уравнение для нахождения параметра α_1 упрощается к виду $\operatorname{tg} \alpha_1 =$

$\operatorname{tg} \Theta_1 \pm \frac{r_1}{F + Z_1(\alpha_1)}$. Двойной знак получается потому, что условию $\psi = 0$ в общем случае отвечают частицы с $\gamma_0 = 0$ и

$\gamma_0 = \mp 1$ ($\cos \gamma_0 = \pm 1$). Условие $\psi = 0$ можно распространить на все частицы, если размер пучка в фокальной плоскости линзы значительно меньше размера его при входе в линзу или источник представляет собой тонкий цилиндр, ось которого совпадает с осью поля. Один из этих случаев может иметь место при фокусировке вторичных частиц, если пучок первичных, обладающий, как правило, малым фазовым объёмом, сфокусирован оптимально.

Для оценки влияния ψ – скорости на фокусировку частиц

мы приводим (рис.4) зависимость их координаты r_{02} и угла θ_2 относительно оси \hat{z} во второй фокальной плоскости "линейной линзы" с $F = 60$ см и $b = 30$ от значений начального угла θ_1 , при заданной начальной координате $r_0 = 1$ см для четырех значений угла γ_{01} , а именно $\gamma_{01} = 0, \pi, \pm \frac{\pi}{2}$. В первых двух случаях $\dot{\varphi}$ - скорость равна 0 на протяжении всей траектории, в двух последних - близка, при достаточно больших θ_1 , к максимальному значению на входе в линзу, которое для заданных θ_1 , r_0 и F имеет место при $\gamma_{01} =$

$$= \pi - \arccos \frac{r_0}{(F-z_1) \operatorname{tg} \theta_1}. \text{ При идеальной фокусировке координаты и углы в фокальных плоскостях связаны соотношениями } r_{02} = \theta_1 F, \theta_2 = -\frac{r_{02}}{F}. \text{ Наибольшее отклонение от идеальности при заданных } r_0 \text{ и } \theta_1 \text{ обнаруживает фокусировка частиц с } \gamma_0 = 0 \text{ и } \gamma_0 = \pi.$$

Перпендикулярность поперечной скорости и радиуса вектора в случае $\gamma_{01} = \pm \frac{\pi}{2}$ с хорошей точностью сохраняется и во второй фокальной плоскости ($\gamma_{02} \approx \frac{\pi}{2}$). Отклонение от перпендикулярности, которое не превышает 0,1 рад в диапазоне $0,01 \leq \theta_1 \leq 0,25$ рад приводит к небольшому развороту эллипсов, являющихся на фазовой плоскости геометрическим местом частиц с $\gamma_{01} = \pm \frac{\pi}{2}$ и заданными r_0 и θ_1 . При очень малых значениях θ_1 угол γ_{02} стремится к π , и тем совершаются плавный переход от движения с $\dot{\varphi} \neq 0$ к движению с $\dot{\varphi} = 0$ при $\theta_1 = 0$. Изменение координаты φ не вычислялось, как несущественное при аксиально-симметричных источниках.

б) Искажения эмитанса пучка

На рис.5 показаны поперечные фазовые объемы-эмитансы пучков частиц во второй фокальной плоскости линзы для трех рассмотренных типов линз. По оси абсцисс отложена любая из поперечных осей \hat{z} декартовых координат, отнесенная к фокусному расстоянию линзы по оси ординат - проекция на соответствующую плоскость угла наклона траектории частицы к оси \hat{z} . В таком виде приведенные результаты справедливы для любого значения

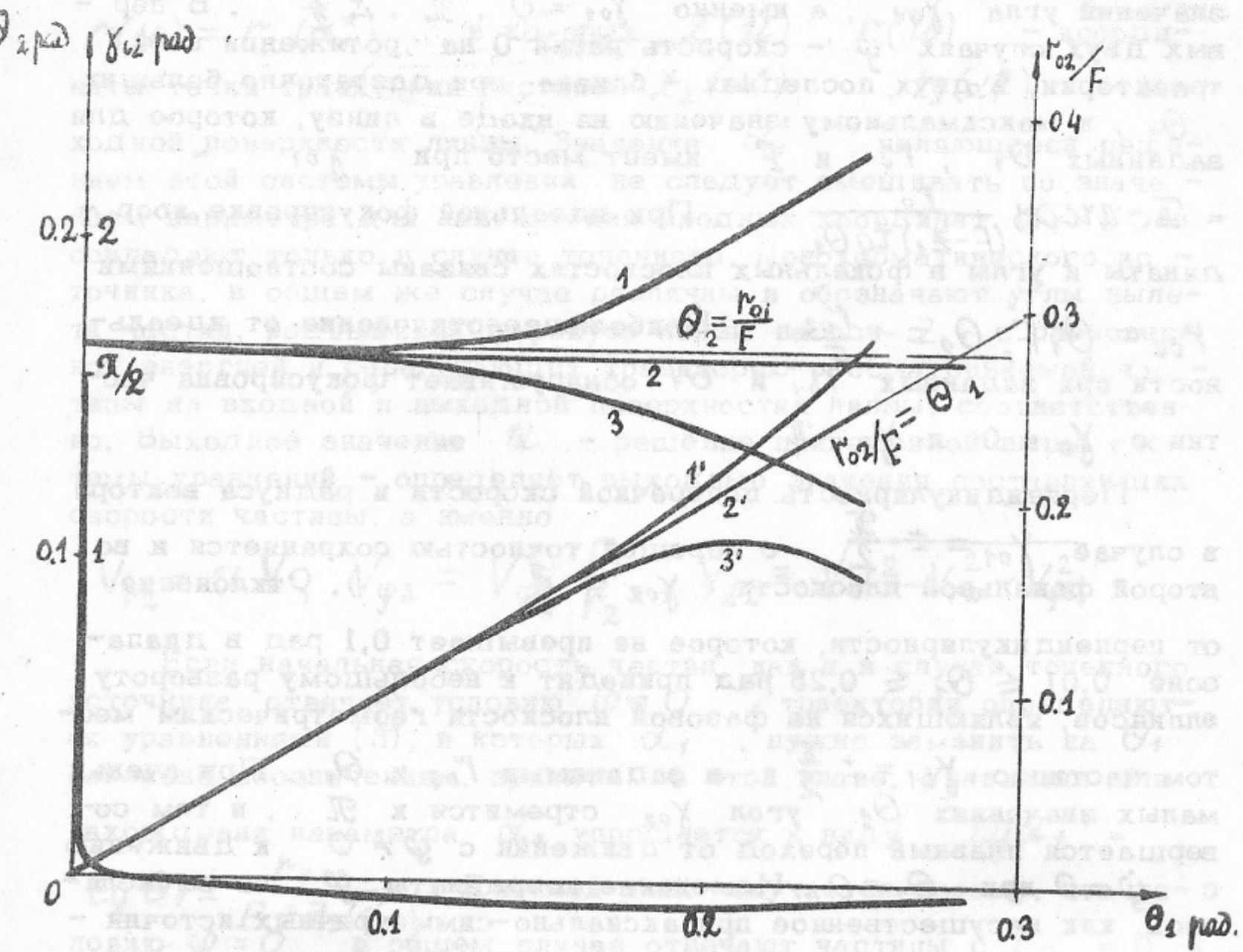


Рис.4. Углы Θ_2 , γ_{02} и координата r_{02} частицы во второй фокальной плоскости линейной линзы с $b = 30$ в зависимости от значений начального угла Θ_1 при $r_{01} = 0,0167 F$ и

- | | |
|--|---|
| 1 - $\Theta_2(\Theta_1)$ при $\gamma_{01} = 0, \frac{\pi}{2}, \pm \frac{\pi}{2}$ | $1' - r_{02}(\Theta_1)$ при $\gamma_{01} = 0$ |
| 2 - $\Theta_2(\Theta_1)$ при $\gamma_{01} = \frac{+\pi}{2}$ | $2' - r_{02}(\Theta_1)$ при $\gamma_{01} = \pm \frac{\pi}{2}$ |
| 3 - $\Theta_2(\Theta_1)$ при $\gamma_{01} = \pi$ | $3' - r_{02}(\Theta_1)$ при $\gamma_{01} = \pi$ |

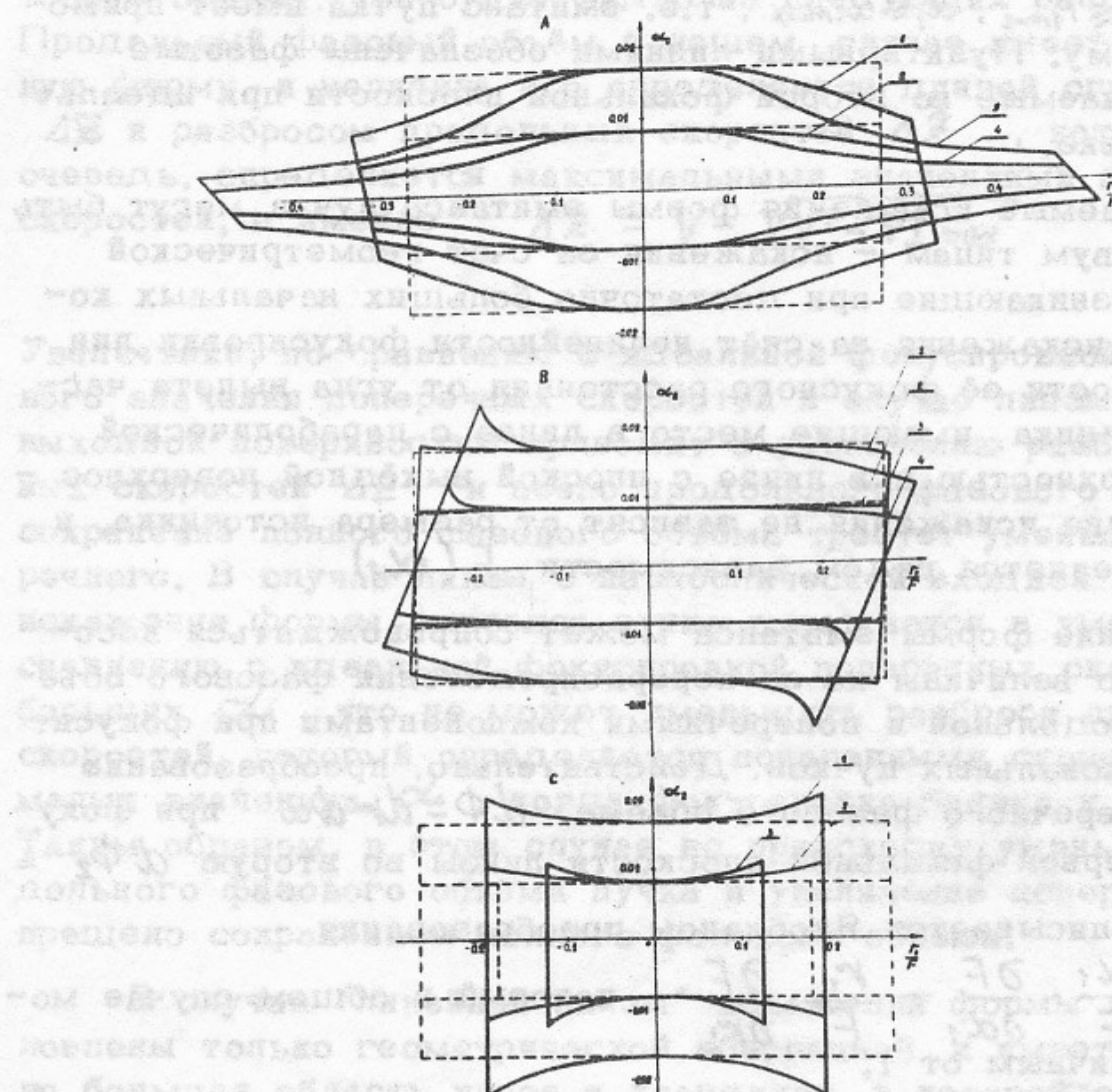


Рис.5. Поперечные фазовые объемы пучков во второй фокальной плоскости линзы. Параметры пучка в первой фокальной плоскости: $\alpha_{1,\max} = \pm 0,27$ рад., $r_{1,\max} = \pm 1$ см - кривые 1 и 3,

$r_{1,\max} = \pm 0,5$ см - кривые 2 и 4 на всех рисунках. А - парabolическая линза с исправленным профилем $F = 60$ см, $b = 12$,

$a = 0,1$ - кривые 1 и 2, $b = 30$, $a = 0,25$ - кривые 3 и 4.

В - линейная линза $F = 60$ см, $b = 12$ - кривые 1 и 2, $b = 30$ - кривые 3 и 4. С - "полулинза" $F = 60$ см, $b = 12$ - кривые 1 и 2, $b = 30$ ($\alpha_{1,\max} = 0,18$ рад) - кривая 3. Пунктирные линии - неискаженный фазовый объем при идеальной фокусировке.

фокусного расстояния при одном и том же "б". В первой фокальной плоскости углы вылета и координаты частиц ограничены условиями $r_1 \leq r_{\max}$, $\alpha_1 \leq \alpha_{\max}$, т.е. эмитанс пучка имеет прямоугольную форму. Пунктирными линиями обозначены фазовые объемы, получаемые во второй фокальной плоскости при идеальной фокусировке.

Наблюдаемые искажения формы эмитанса пучка могут быть отнесены к двум типам - искажения за счёт геометрической aberrации, возникающие при достаточно больших начальных координатах, и искажения за счёт нелинейности фокусировки линзы - зависимости её фокусного расстояния от угла вылета частицы из источника, имеющие место в линзе с параболической входной поверхностью и в линзе с плоской выходной поверхностью. Последние искажения не зависят от размера источника, и вид их определяется видом зависимости $F(\alpha_1)$.

Искажение формы эмитанса может сопровождаться несохранением его величины из-за перераспределения фазового объема между продольной и поперечными компонентами при фокусировке непараксиальных пучков. Действительно, преобразование элемента поперечного фазового объема $d\Phi = dr d\alpha$ при фокусировке из первой фокальной плоскости линзы во вторую $d\Phi_2 = D d\Phi_1$, описывается Якобианом преобразования

$$D = 1 + \frac{\alpha_1}{F} \cdot \frac{\partial F}{\partial \alpha_1} - \frac{r_1}{F} \cdot \frac{\partial F}{\partial r_1}, \text{ который в общем случае может быть отличным от 1.}$$

В случае линзы с плоской выходной поверхностью третьим слагаемым в выражении для D можно пренебречь ввиду малой зависимости фокусного расстояния от координаты r_1 , второе же слагаемое отрицательно, т.к. $\frac{\partial F}{\partial \alpha_1} < 0$. В результате Якобиан преобразования оказывается меньшим 1, и происходит заметное уменьшение эмитанса пучка.

В случае линзы с параболической входной поверхностью $\frac{\partial F}{\partial \alpha_1} > 0$, и можно ожидать увеличение эмитанса. Однако, в этом случае зависимость F от r_1 оказывается существенной, благодаря чему Якобиан преобразования остается близким к 1, и величина эмитанса сохраняется с хорошей точностью.

Несоответствие в поведении эмитанса в этих двух случаев не является случайным, а диктуется сохранением полного фазового объёма, как будет видно из следующих рассуждений. Продольный фазовый объём в нашем случае имеет прямоугольную форму, и величина его определяется длиной сгустка частиц ΔZ и разбросом продольных скоростей $\Delta \dot{Z}$, который, в свою очередь, определяется максимальными значениями поперечных скоростей, а именно $\Delta \dot{Z} = V - \sqrt{V^2 - V_{max}^2}$

Увеличение, по сравнению с идеальной фокусировкой, максимального значения поперечных скоростей в случае линзы с плоской выходной поверхностью приводит к увеличению разброса продольных скоростей $\Delta \dot{Z}$ и всего продольного фазового объёма, и сохранение полного фазового объёма требует уменьшения поперечного. В случае линзы с параболической входной поверхностью искажение формы эмитанса пучка выражается в уменьшении по сравнению с идеальной фокусировкой поперечных скоростей при больших α , что не может уменьшить разброса продольных скоростей, который определяется поперечными скоростями при малых значениях α , когда фокусировка близка к идеальной. Таким образом, в этом случае не происходит уменьшения продольного фазового объёма пучка и увеличение поперечного защищено сохранением полного фазового объёма.

В случае "линейной линзы" искажения формы эмитанса обусловлены только геометрической аберрацией, и имеется достаточно большая область углов и координат, в которой эмитанс пучка передается линзой практически без искажений (рис.5).

III. Хроматические aberrации

Хроматическую aberrацию линзы, т.е. угловой разброс на её выходе в зависимости от разброса импульсов $\Delta p/p$, можно выразить соотношением $\Delta \alpha_p = \alpha_1 \epsilon(\alpha_1) \frac{\Delta p}{p}$, где величина ϵ равна 1 при углах, отвечающих приближению тонкой линзы, а затем уменьшается с ростом α_1 . Зависимость ϵ от α_1 различна для разных типов линз и значений " b ". На рис.6 приведены зависимости выходных углов от углов входа при $\Delta p/p = 0.10$ для различных типов линз при точечном источнике.

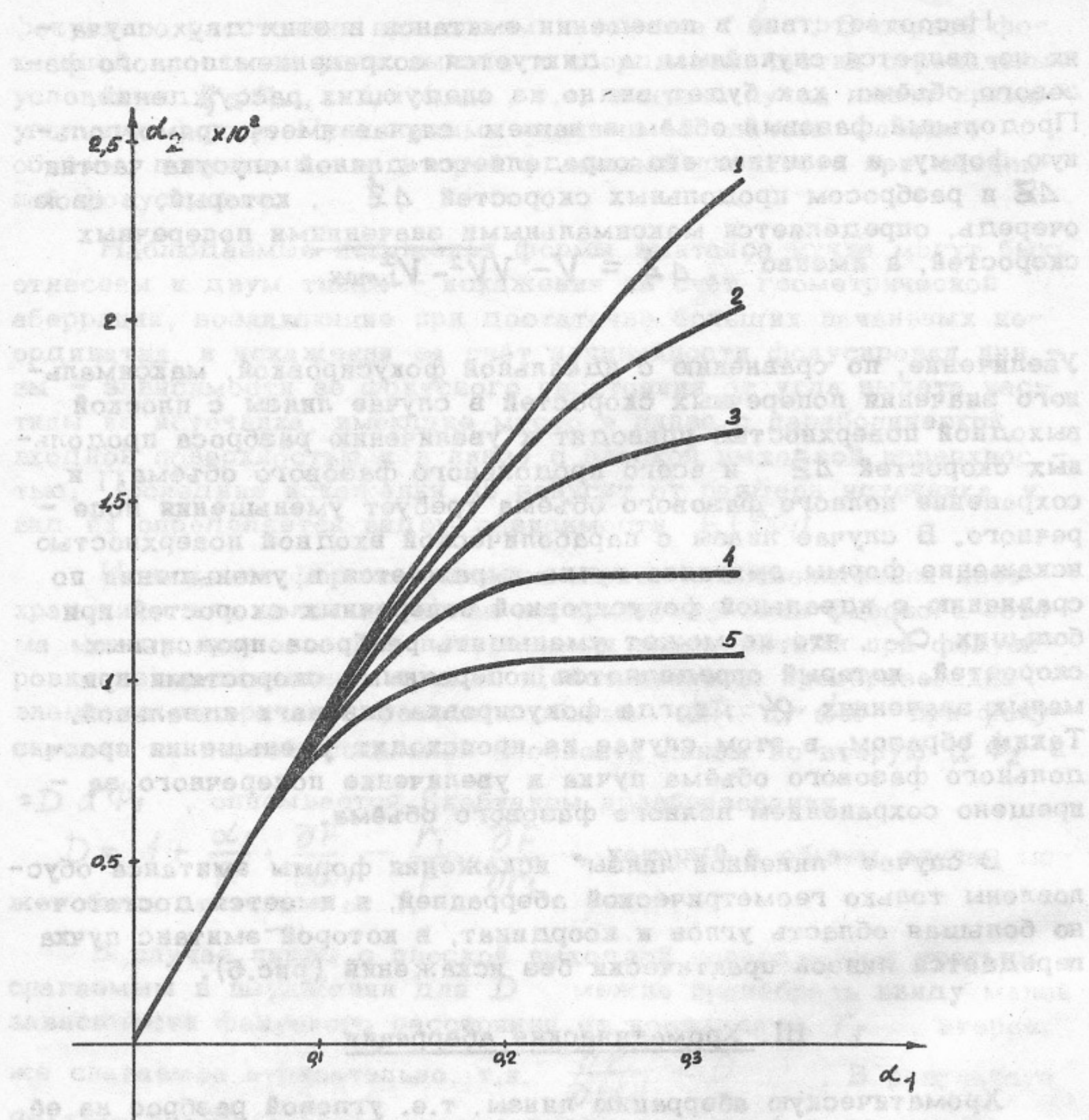


Рис.6. Хроматические aberrации при $\Delta P/P = 0.1$,
кривые 1 и 2 - „полулинза“ с $F = 60$ см, $b = 12$ и
 $b = 30$, соответственно, кривые 3 и 4 - линейная лин-
за с $F = 60$ см, $b = 12$ и $b = 30$, соответственно,
кривая 5 - линза с параболической входной поверх-
ностью с $F = 60$, $b = 30$ ($a = 0.25$).

таким или иным способом разрешить инженерные проблемы
таких як волнистых модуляционных микрорельефов можно
использовать дифракционную оптику, основанную на
законах Гамильтоновой механики. Вот и закономерна этой
исследования на ФНР в
Г.А. Бессоновская и др. Академия ЗСР 1960 г.
Г.А. Бессоновская и др. Академия ЗСР 1960 г.

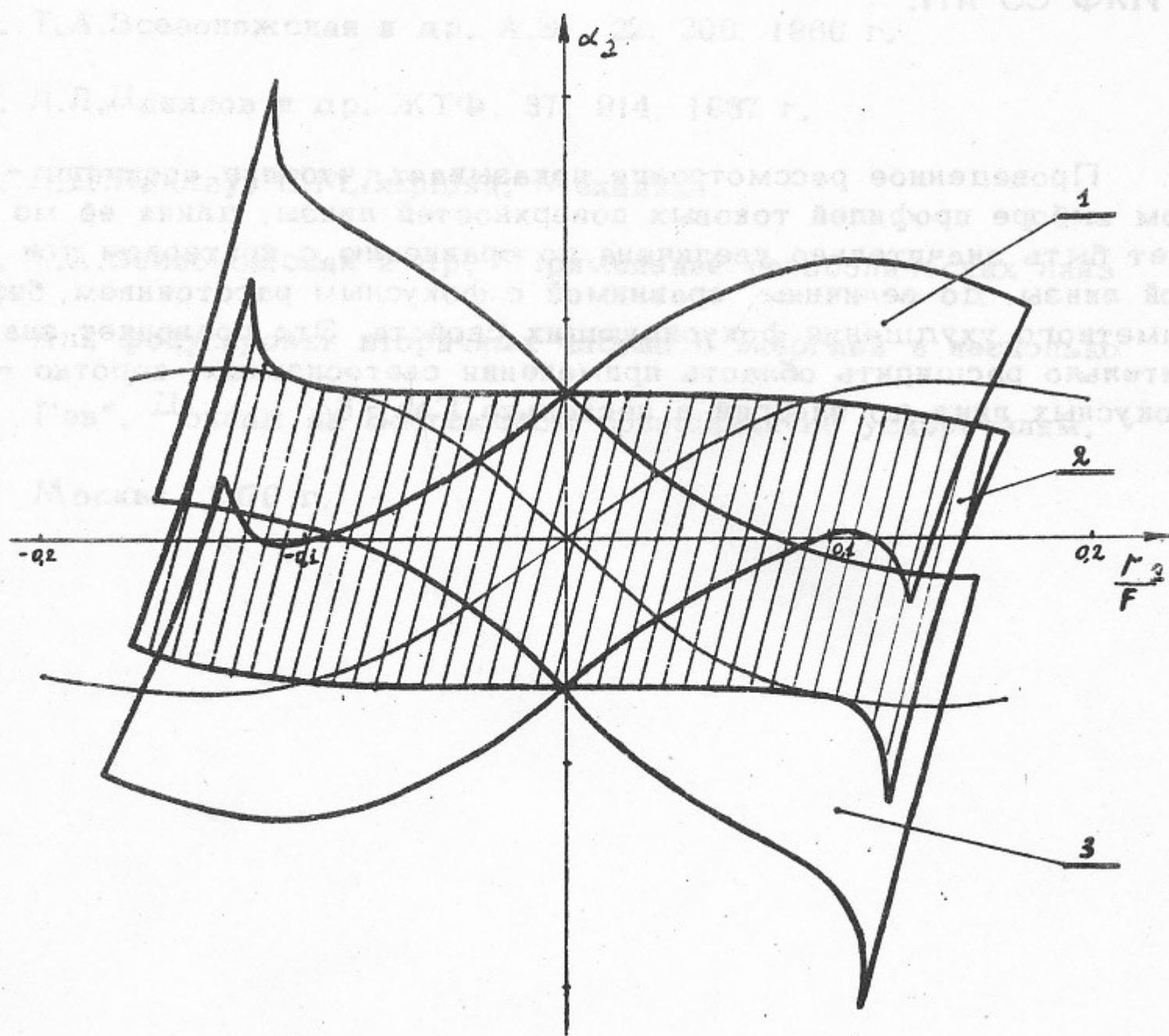


Рис.7. Искашения фазового объёма при неменохроматичном не-
точечном источнике: $r_{1\max} \pm 0,5$ см, $\alpha_{1\max} = 0,15$ радиан.
Линза линейная с $b = 120$, $F = 60$ см

$$1 - \frac{\Delta P}{P} = +0.05; \quad 2 - \frac{\Delta P}{P} = 0; \quad 3 - \frac{\Delta P}{P} = -0.05$$

Характер искажений поперечного фазового объема при немонохроматичном неточечном источнике демонстрируется на рис.7 для линейной линзы с $b = 120$ при $\Delta p/p = \pm 5\%$.

Все вычисления в этой работе проводились на ЭВМ Минск-22 в ИЯФ СО АН.

Проведенное рассмотрение показывает, что при специальном выборе профилей токовых поверхностей линзы, длина её может быть значительно увеличена по сравнению с критерием тонкой линзы, до величины, сравнимой с фокусным расстоянием, без заметного ухудшения фокусирующих свойств. Это позволяет значительно расширить область применения светосильных, короткофокусных линз, до энергий в несколько Гэв /5/.

Л и т е р а т у р а

1. Г.И.Будкер и др. Международная конференция по ускорителям, Дубна, 1963 г., стр.268.
2. Т.А.Всеволожская и др. А.Э., 22, 206, 1966 г.
3. Л.Л.Данилов и др. ЖТФ, 37, 914, 1967 г.
4. Л.Д.Ландау, Е.М.Лифшиц. Механика.
5. Т.А.Всеволожская и др. "Применение параболических линз для фокусировки вторичных частиц с энергией в несколько Гэв". Доклад на Всесоюзном совещании по ускорителям, Москва, 1970 г.

Альбом исследований поверхности флюидного слоя при изучении
разных типов источников источника демонстрируется на рис.7
из альбома "Изучение гидроакустической обстановки в море" № 2, 1

Все изображения в этой работе 1991 год, листы 22
в ИЯФ СО АН.

Лист 202 № 1.6.А од в изложенной. А.Т

Проведенное рассмотрение различных форм, в которых может
быть выражена структура поверхности воды, показало что мож-
ет быть выделены различные типы и разновидности, как то
такие, что связаны с различными расстояниями, так
и некоторые, связанные с различными частотами. Одна
из них, характеризующаяся наличием ярко выраженных
периодических всплесков, называемая "Каскадной" имеет
значительную часть времени, состоящую из коротких
и непрерывных всплесков, называемых "пакетами".

Лист 202 № 1.6.А од в изложенной. А.Т

Ответственный за выпуск Всеболожская Т.А.

Подписано к печати 20.7.71. № 01251

Усл. 1,2 печ.л., тираж 250 экз. Бесплатно.

Заказ № 39. ПРЕПРИНТ

Отпечатано на ротапринте в ИЯФ СО АН СССР, нв.